



Evaluating Ecological Degradation of Kosalan Protected Area using Remote Sensing and GIS

Zahra Jalilian^a, Jamil Amanollahi^{b*}

^a MSc in Environmental Sciences, Department of Environmental Sciences, Faculty of Natural Resources, University of Kurdistan, Sanandaj, Iran

^b Associate Professor, Department of Environmental Sciences, Faculty of Natural Resources, University of Kurdistan, Sanandaj, Iran

Received: 23 January 2022

Revised: 20 March 2022

Accepted: 31 March 2022

Abstract

Protected areas are defined as a pattern of land use in the environmental planning process. However, they are excluded from any physical exploitation or their use is conditional. They are no less important than other lands. This study aimed to evaluate the ecological degradation of Kosalan protected area using remote sensing and GIS techniques. Images of two time periods 1989 and 2020 were prepared. For this purpose, after radiometric and atmospheric corrections of NDVI index, changes of vegetation in the region in the two time periods were evaluated. Then, to model the ecological degradation, eight criteria including distance from the village, distance from the road, landslide points, erosion intensity, slope, direction, altitude and vegetation were used. The criteria were weighted by hierarchical analysis process method and standardized by fuzzy model. Vegetation changes at different thresholds were analyzed. According to the vegetation situation in the region, 3 thresholds of 0.1-3, 0.1-1 and 0.1-1 were used. The results of this evaluation showed that the quality and density of vegetation has decreased a lot during 31 years. The results of ecological degradation modeling showed that the most effective criterion in causing degradation is distance from the village. In general, 50% of the area has a high potential for ecological degradation. The results showed that the greatest potential for ecological degradation was in the central areas of the southeast and center of the region, where the slope and altitude are high. The impact of slope is so high in these places.

Keywords: AHP, NDVI, Fuzzy, Modeling, Vegetation Density

* Corresponding author: Jamil Amanollahi Email: j.amanollahi@uok.ac.ir Tel: +989379701832

How to cite this Article: Jalilian, Z., Amanollahi, J. (2023). Evaluating ecological degradation of Kosalan protected area using remote sensing and GIS. *Journal of Geography and Environmental Hazards*, 12(1), 41-61.

DOI: 10.22067/geoh.2022.75467.1184



Journal of Geography and Environmental Hazards are fully compliant with open access mandates, by publishing its articles under Creative Commons Attribution 4.0 International License (CC BY 4.0).



Creative Commons Attribution 4.0 International License (CC BY 4.0)

Geography and Environmental Hazards

Volume 12, Issue 1 - Number 45, Spring 2023

<https://geoeh.um.ac.ir>

<https://doi.org/10.22067/geoeh.2022.75467.1184>

جغرافیا و مخاطرات محیطی، سال دوازدهم، شماره چهل و پنجم، بهار ۱۴۰۲، صص ۶۱-۴۱

مقاله پژوهشی

ارزیابی پتانسیل تخریب اکولوژیکی منطقه حفاظت شده کوسالان با استفاده از سنجش از دور و GIS

زهرا جلیلیان - کارشناسی ارشد محیط‌زیست، دانشکده منابع طبیعی، دانشگاه کردستان، سنندج، ایران

جميل امان اللهي^۱ - دانشيار گروه علوم و مهندسي محیط‌زیست، دانشکده منابع طبیعی، دانشگاه کردستان، سنندج، ایران

تاریخ دریافت: ۱۴۰۱/۱۱/۳ تاریخ تصویب: ۱۴۰۰/۱۲/۲۹

چکیده

این تحقیق با هدف ارزیابی تخریب اکولوژیکی منطقه حفاظت شده کوسالان در شهرستان مریوان در استان کردستان با استفاده از فن‌آوری‌های سنجش از دور و GIS انجام شده است. برای این منظور تصاویر دو دوره زمانی مربوط به سال‌های ۱۹۸۹ و ۲۰۲۰ تهیه گردید. پس از انجام تصحیحات رادیومتریک و اتمسفریک، تغییرات شاخص NDVI که بیان کننده تغییرات پوشش گیاهی در دو بازه زمانی مورد بررسی است، مورد ارزیابی قرار گرفت. به‌منظور مدل‌سازی تخریب اکولوژیک از ۴ معیار کلی پوشش گیاهی، زمین‌شناسی، فیزیوگرافی و فعالیت‌های انسانی و ۸ زیر معیار شامل فاصله از روستا، فاصله از جاده، محدوده‌های زمین‌لغزش، شدت فرسایش، شبی، جهت، ارتفاع از سطح دریا و پوشش گیاهی استفاده گردید. زیر معیارها با مدل Fuzzy استاندارد شدند و با روش AHP وزن دهی گردیدند. تغییرات پوشش گیاهی در آستانه‌های مختلف شاخص NDVI شامل سه آستانه ۱-۳، ۱-۴ و ۱-۵ مورد ارزیابی قرار گرفت. نتایج این ارزیابی نشان می‌دهد که کیفیت و تراکم پوشش گیاهی دارای روند کاهشی در طول این ۳۱ سال بوده است. نتایج مدل‌سازی پتانسیل تخریب اکولوژیکی نشان داد مؤثرترین معیار در ایجاد تخریب، فاصله از روستا است. به‌طور کلی ۵۰ درصد از مساحت منطقه دارای پتانسیل بالای تخریب

Email: j.amanollahi@uok.ac.ir

۱ نویسنده مسئول: ۰۹۳۷۹۷۰۱۸۳۲

نحوه ارجاع به این مقاله:

لیلیان، زهرا؛ امان اللهي، جمیل؛ ۱۴۰۲. ارزیابی پتانسیل تخریب اکولوژیکی منطقه حفاظت شده کوسالان با استفاده از سنجش از دور و GIS. جغرافیا و مخاطرات محیطی. ۱۲(۱). صص ۶۱-۴۱

<https://doi.org/10.22067/geoeh.2022.75467.1184>

اکولوژیکی است. نتایج این مطالعه نشان داد استفاده از مدل‌های دقیق و تجزیه و تحلیل نتایج آن‌ها در محیط GIS می‌تواند روش دقیقی در برآورد پتانسیل تخریب اکولوژیکی مناطق حفاظت شده باشد. کلیدواژه‌ها: NDVI، AHP، فازی، مدل‌سازی، تراکم پوشش گیاهی.

۱- مقدمه

مناطق حفاظت شده به عنوان نوعی الگوی کاربری زمین در فرآیند برنامه‌ریزی محیط‌زیست تعیین شده است. اگرچه بهره‌برداری فیزیکی از مناطق حفاظت شده انجام نمی‌شود و یا استفاده از آن‌ها به صورت مشروط صورت می‌گیرد. اهمیت آن‌ها کمتر از ارزش‌های سایر کاربری‌های دیگر نیست؛ زیرا این مناطق پشتونه حمایتی مهمی برای بسیاری از زمینه‌ها از جمله حفظ تنوع زیستی و توسعه پایدار کشاورزی به شمار می‌روند (روشن، ۱۳۹۷). با توجه به افزایش تقاضا و تشدید کاربری زمین توسط انسان‌ها، انتظار می‌رود که تغییرات کاربری زمین، مهم‌ترین عامل ایجاد تغییر در تنوع زیستی در آینده باشد (والز، ۲۰۱۱) ارزیابی آسیب‌پذیری اکولوژیکی^۱ ناشی از اختلال مستمر انسان در فرآیندهای طبیعی و محیطی، توجه زیادی را در جهان به ویژه در زمینه تغییرات آب و هوایی به خود اختصاص داده است (فراسر^۲ و همکاران، ۲۰۱۱). امروزه فن‌آوری سنجش از دور به عنوان جایگزینی برای روش‌های نمونه‌برداری سنتی پر هزینه و وقت‌گیر به کار می‌رود (اسلونکر^۳ و همکاران، ۲۰۱۰؛ محمود^۴ و همکاران، ۲۰۱۷؛ منزو^۵ و همکاران، ۲۰۱۷). مطالعاتی در این زمینه انجام شده که می‌توان به پژوهش ادی^۶ و همکاران (۲۰۱۷) اشاره کرد که به بررسی ترکیب سنجش از دور و دانش زیست‌محیطی محلی برای نظرارت بر پویایی مرتع قرقیستان پرداختند. شاخص‌های پوشش گیاهی (مانند NDVI)، یا شاخص پوشش گیاهی اختلاف نرم‌الشده که از تصاویر مناطق دور افتاده به دست آمده بودند، اغلب برای نظرارت بر مرتع مورداستفاده قرار گرفتند. نتایج آن‌ها نشان داد که دانش بوم‌شناسی محلی یک منبع با ارزش از اطلاعات و مکملی برای فن‌آوری سنجش از دور است. جینگ^۷ و همکاران (۲۰۲۰)، با استفاده از تصاویر ماهواره‌ای روند تغییرات پوشش گیاهی منطقه با شاخص NDVI را مورد ارزیابی قرار دادند. در این مقاله آن‌ها از تصاویر Landsat5 (TM^۹) در سال ۲۰۰۷ و تصویرگر زمین عملیاتی Landsat8 (OLI^{۱۰}) در سال ۲۰۱۳ و ۲۰۱۶ استفاده کردند تا شاخص‌هایی از قبیل سبز بودن، مرطوب بودن، گرما و خشکی را

1 Walz

2 Ecological vulnerability evaluation

3 Fraser

4 Slonecker

5 Mahmood

6 Manzo

7 Eddy

8 jing

9 Thematic Mapper

10 Operational Land Imager

استخراج کنند که منعکس کننده کیفیت زیست محیطی منطقه خشک بود. نتایج نشان داد که سبز بودن و رطوبت تأثیرات مثبتی بر محیط زیست دارد، در حالی که گرما و خشکی اثرات منفی دارند. **اکس یو^۱ و همکاران (۲۰۱۸)** به بررسی پیش‌بینی اثرات زیست محیطی جمعیت بالقوه و سطح غیرقابل نفوذ با استفاده از شاخص اکولوژیکی مبتنی بر سنجش از دور (RSEI^۲) در چین پرداختند. پیش‌بینی این تأثیر به اطلاع رسانی در مورد برنامه‌ریزی شهری و تصمیم‌گیری در مورد رشد جمعیت، افزایش سطح غیرقابل نفوذ (IS) و اثرات زیست محیطی مرتبط کرد. **جیانگ^۳ و همکاران (۲۰۱۸)**، روش ارزیابی آسیب‌پذیری زیست محیطی در اثر تغییر آب و هوای بر اساس سنجش از دور، در چین مطالعه موردنی انجام داده‌اند. روش پیشنهادی مبتنی بر تعریف چارچوب^۴ IPCC و سنجش از دور بوده است. نتایج نشان داد که آسیب‌پذیری زیست محیطی در چین متوسط یا زیاد است و تغییرات منطقه‌ای مشخصی در توزیع مکانی دارد. **شن^۵ و همکاران (۲۰۱۹)** مطالعه‌ای با عنوان سنجش از دور و ارزیابی تخریب اکولوژیکی تالاب در چین انجام داده‌اند سنجش از دور برای ردیابی روند تخریب اکولوژیکی در طی سال‌های ۲۰۰۰ تا ۲۰۱۵ از سه جنبه و در سه سطح استفاده شد. برای ارزیابی میزان تخریب تالاب از لحاظ کمی، از یک فرآیند سلسله مراتبی تحلیلی (AHP)^۶ بر اساس پنج شاخص استفاده شد: نرخ تغییر منطقه تالاب، بعد فراکتال چشم‌انداز، تکه‌تکه شدن چشم‌انداز، زیست‌توده گیاهی و پوشش گیاهی. به طور خلاصه، شدیدترین تخریب تالاب در سال ۲۰۰۵ بود. در طی دوره ۲۰۰۰–۲۰۱۵، الگوی تخریب مکانی تالاب Zoige از شمال شرقی به جنوب غربی پیشرفت کرده بود. **هلوی^۷ و همکاران** در سال ۲۰۱۶ در مطالعه‌ی از منطقه فازی برای ترسیم نقشه برای میزان تولید هوموس در مناطق کوهستانی ایتالیا استفاده کردند. نتایج آن‌ها نشان داد که منطقه فازی برای ترسیم نقشه‌های مبتنی بر تعداد داده کم و دارای عدم قطعیت و در مناطق ناهمگن مناسب است. **تان^۸ و همکاران (۲۰۱۹)** به بررسی شاخص ارزیابی ریسک زیست محیطی جدید و مستقیم برای تخریب محیط‌زیست بر اساس رویکرد منحنی پاسخ و داده‌های سنجش از دور پرداختند؛ و بیان کردند که اکوسیستم‌ها با تشدید فعالیت‌های انسانی و تغییرات آب و هوایی در جهان در معرض خطر تخریب محیط‌زیست قرار دارند. **آرخی^۹ و همکاران (۱۴۰۰)** به بررسی کاهش پوشش جنگلی شهرستان سردشت در استان آذربایجان غربی، از طریق تصاویر سنجنده OLI، ETM+ و MSS مربوط به سال‌های ۱۳۵۶، ۱۳۷۹ و ۱۳۹۷ پرداختند. تصاویر ذکر شده مورد پیش‌پردازش و پردازش قرار دادند و به دو طبقه جنگل و غیر جنگل طبقه‌بندی کردند. نتایج نشان داد که در طول ۴۱ سال حدود ۳۳۷۲۱ هکتار از سطح جنگل‌های شهرستان سردشت کاسته شده

¹ Xu² Risk-Screening Environmental Indicators³ jiang⁴ Intergovernmental Panel on Climate Change⁵ Shen⁶ Analytical Hierarchy Process⁷ Hellwig⁸ Tan

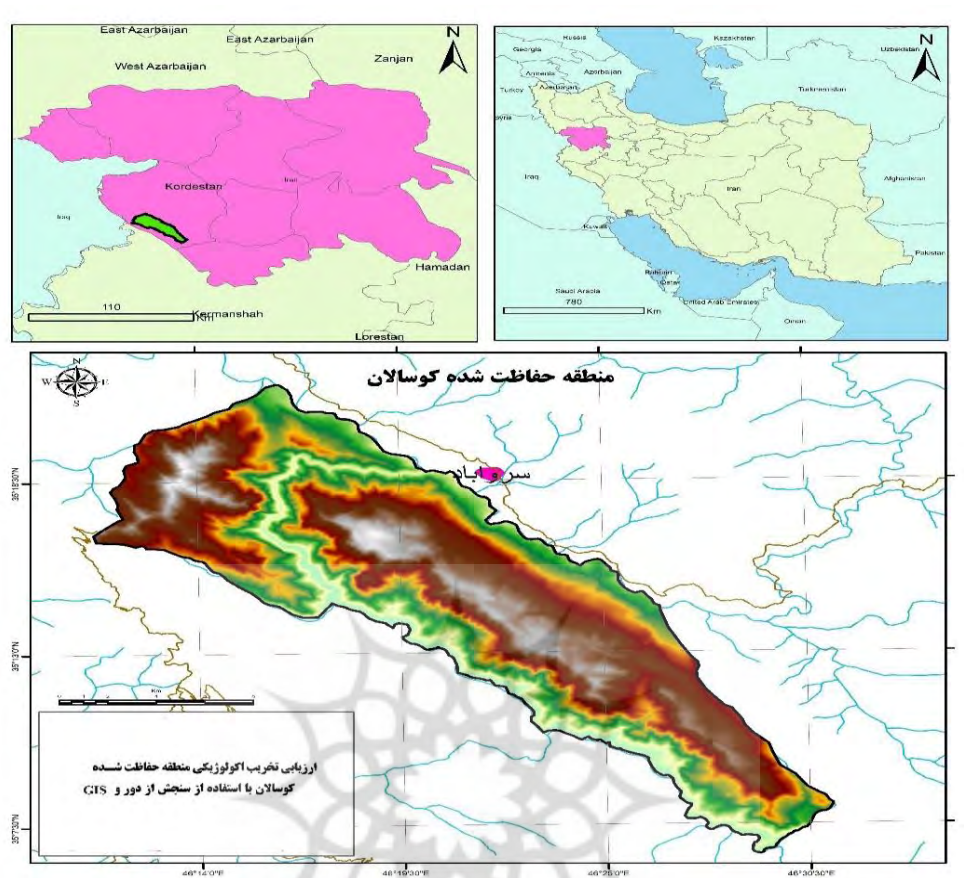
است. با توجه به نتایج مشخص شد که از متغیرهای توپوگرافی، پارامترهای فاصله از جاده و فاصله از روستا بر میزان تخریب جنگل بیشترین تأثیر را داشته‌اند. همان‌طور که مطالعات انجام شده نشان داد فن‌آوری سنجش از دور و بررسی معیارهای مختلف و مدل‌سازی آن به کمک مدل‌های چند معیاره مانند AHP و منطق فازی می‌تواند در شناسایی تخریب اکولوژیک مناطق مختلف مؤثر باشد. لذا در این تحقیق مدل‌سازی تخریب اکولوژیک در محیط سامانه‌های اطلاعات جغرافیایی با استفاده از مدل‌های منطق فازی و AHP انجام برای منطقه حفاظت شده کوسالان انجام شد.

۲- مواد و روش

۱-۲- منطقه مورد مطالعه

منطقه مطالعاتی در غرب ایران، استان کردستان و در شهرستان مریوان قرار گرفته است. کوسالان در محدوده طول‌های جغرافیایی $11^{\circ}26' \text{ تا } 11^{\circ}46'$ و عرض‌های جغرافیایی $30^{\circ}27' \text{ تا } 35^{\circ}63'$ در $21^{\circ}56'$ شمالی با مختصات UTM، زون ۳۸ شمالی با مساحتی برابر 25764 هکتار در 17 کیلومتری جنوب شرقی شهر مریوان (ماین شهرهای سروآباد- مریوان و پاوه) قرار گرفته است (شکل ۱). همچنین بخشی از این منطقه در استان کرمانشاه واقع شده است که این مطالعه بخش کوسالان را در بر گرفته که مساحت آن 26 هزار هکتار است در این منطقه تاکنون 117 گونه پرنده، 23 گونه پستاندار، 17 گونه خزنده و 242 گونه گیاهی شناسایی شده است. مهم‌ترین پوشش گیاهی این منطقه شامل جنگلهای بلوط است. گونه‌های شاخص جانوری شامل: سیاه‌گوش، کل و بز، خرس قهوه‌ای، پلنگ، کرکس، هما و عقاب طلائی است (دیده بان محیط‌زیست و حیات وحش، ۱۳۹۱).

پژوهشگاه علوم انسانی و مطالعات فرهنگی
پرستال جامع علوم انسانی



شکل ۱. محدوده منطقه مورد مطالعه

۲-۲-داده‌ها

انواع داده‌های مورداستفاده در این مطالعه و مأخذ و مشخصات آن‌ها در [جدول شماره ۱](#) نشان داده شده است. در این مطالعه نقشه روستاهای، جاده‌ها، نقاط زمین‌لغزش، فرسایش و^۱ DEM از سازمان نقشه‌برداری کشور تهیه گردید. همچنین تصاویر ماهواره‌ای منطقه از وب‌سایت سازمان زمین‌شناسی آمریکا دانلود و تصحیحات مربوطه جهت استخراج اطلاعات بر روی آن‌ها انجام شد ([جدول ۱](#)).

جدول ۱- داده‌های مورداستفاده و مشخصات آن‌ها

داده	مأخذ داده	فرمت داده	مقیاس داده	دوره زمانی	سال اخذ داده
DEM	سازمان نقشه‌برداری	رس تر	۲۰*۲۰ متر		۱۳۹۹
تصاویر	(SRTM) آمریکا	رس تر	۳۰*۳۰ متر	۱۹۸۹-۲۰۲۰	۲۰۲۰
پوشش گیاهی	سازمان جنگل‌ها و مراتع	برداری (وکور)	۱/۲۵۰۰۰۰		۱۳۹۹

سال اخذ داده	دوره زمانی	مقیاس داده	فرمت داده	مأخذ داده	داده
۱۳۹۹		۱/۲۵۰۰۰۰	برداری (وکور)	سازمان نقشه‌برداری	روستاهای
۱۳۹۹		۱/۲۵۰۰۰	برداری (وکور)	سازمان نقشه‌برداری	جاده‌ها
۱۳۹۹		۱/۲۵۰۰۰۰	برداری (وکور)	سازمان نقشه‌برداری	نقاط زمین‌لغزش
۱۳۹۹		۱/۲۵۰۰۰۰	برداری (وکور)	سازمان نقشه‌برداری	فرسایش

۳-۲- روش‌شناسی

۱-۳-۲- پایش تغییرات پوشش گیاهی

برای ارزیابی تغییرات پوشش گیاهی از شاخص NDVI استفاده شد. ابتدا تصاویر دو دوره زمانی ۱۹۸۹ و ۲۰۲۰ از ماهواره منابع زمینی Landsat دانلود شده و پس از انجام تصحیحات رادیومتریک و اتمسفری با استفاده از روش-های (FLAASH -Drak subtract) با شاخص NDVI تغییرات پوشش گیاهی دو دوره بررسی شد. به‌منظور کنترل کیفیت داده‌های مورداستفاده و آگاهی از اینکه خطاهای سیستماتیک و غیر سیستماتیک تا چه حد در تصحیح سیستمی برطرف شده یا باقیمانده است، داده‌ها موردبررسی و مشاهده قرار گرفتند. پس از نمایش باند‌ها به صورت تک باندی و ترکیبات رنگی مختلف با استفاده از نرم‌افزارهایی که قابلیت نمایش و بزرگنمایی بالایی دارند، به کمک بزرگنمایی آن‌ها در بخش‌های مختلف تصاویر از لحاظ خطاهای رادیومتری نظیر راه راه شدگی، خطای زیر هم قرار گرفتن خطوط اسکن، پیکسل‌های دوبله و همچنین اثرات اتمسفری نظیر ابر موردنبررسی قرار گرفتند (نظم فرو همکاران، ۱۴۰۰).

جدول ۲- مشخصات تصاویر ماهواره‌ای مورداستفاده

دوره زمانی	ماهواره	ستونله	ماه	رزویشن
۱۹۸۹	Landsat	TM	اواخر زوئن	۳۰*۳۰ متر
۲۰۲۰	Landsat	OLI	اواخر زوئن	۳۰*۳۰ متر

تصاویر دو دوره زمانی با فاصله ۳۱ سال در ماه زوئن (کیفیت تصویر در این ماه به علت وجود پوشش گیاهی و همچنین عدم وجود ابر بهتر است)، دانلود و تصاویر هر دو دوره در یک ماه برداشت شد تا تغییرات پوشش گیاهی در تراکم مشابه در دو دوره مختلف، به خوبی قابل قیاس باشد (جدول ۲).

۲-۳-۲- مدل سازی تخریب اکولوژیکی

در این بخش با استفاده از ۸ زیر معیار به ارزیابی تخریب اکولوژیکی پرداخته شد. ابتدا زیر معیارها در محیط نرم افزار ArcGIS 10.7 آماده سازی شدند و سپس با استفاده از منطق فازی استاندارد شدند. برای وزن دهی به معیارها از فرآیند تحلیل سلسله مراتبی استفاده شد. معیارهای مورد استفاده طبق [جدول ۳](#) در این مدل سازی استفاده شدند. این معیارها بر اساس مرور تحقیقات در این زمینه و ارتباط آنها با وضعیت اکولوژیکی انتخاب شدند. معیارهای دیگری نیز در سایر تحقیقات مورد استفاده قرار گرفته بودند که با بررسی وضعیت جغرافیایی منطقه، آنها حذف شدند. معیارهای مهمی که از مدل سازی حذف شدند شامل اقلیم و تغییر کاربری اراضی بودند که معیار اقلیم با توجه به اقلیم یکسان حذف گردید. تغییر کاربری نیز با استفاده از طبقه‌بندی نظارت شده تصاویر ماهواره لندست و همچنین استفاده از سامانه گوگل ارت در دامنه زمانی مطالعه حاضر مورد بررسی قرار گرفت که در هر دو روش به دلیل کوهستانی بودن و توپوگرافی بسیار سخت آن تغییر کاربری اراضی مشاهده نشد. سایر معیارها با توجه به اهمیت آنها و کاربرد در مدل تخریب مورد استفاده قرار گرفتند.

جدول ۳- معیارهای مورد استفاده در مدل سازی تخریب اکولوژیک

ردیف	معیار	زیرمعیار	منبع
۱	پوشش	پوشش گیاهی NDVI	سپهر و همکاران، ۱۳۹۴
۲	زمین‌شناسی	فاصله از نقاط زمین‌لغزش	شیرمحمدی و همکاران، ۱۳۹۵
		فراسایش	سپهر و همکاران، ۱۳۹۴
۳	فیزیوگرافی	شیب	سپهر و همکاران، ۱۳۹۴-شیرمحمدی و همکاران، ۱۳۹۵
		جهت	سپهر و همکاران، ۱۳۹۴-شیرمحمدی و همکاران، ۱۳۹۵
		ارتفاع	سپهر و همکاران، ۱۳۹۴-شیرمحمدی و همکاران، ۱۳۹۵
۴	فعالیت انسانی	فاصله از روستا	شیرمحمدی و همکاران، ۱۳۹۵
		فاصله از جاده	شیرمحمدی و همکاران، ۱۳۹۵

۱-۲-۳-۲- فازی سازی لایه‌ها در سیستم اطلاعات جغرافیایی

هدف از استاندارسازی لایه‌ها، همسان نمودن آنها برای به کارگیری در سامانه پشتیبان تصمیم‌گیری مورد استفاده است که در این تحقیق مدل تخریب اکولوژیک است. در این مدل سازی معیارهای مورد استفاده با منطق فازی استاندارد سازی شد. با استفاده از مبانی تئوری فازی، که هر موضوع یا مفهومی دارای یک درجه عضویت است، می‌توان روش مناسبی جهت طبقه‌بندی و رتبه گذاری نسبت به روش بولین ارائه کرد ([مالانو و گائو، ۱۹۹۲](#)). در

جدول ۴ لایه‌ها و توابع فازی مورداستفاده برای استانداردسازی آن‌ها و هم‌چنین نقاط کنترلی (control point) و نقطه وسط (midpoint) نشان داده شده است.

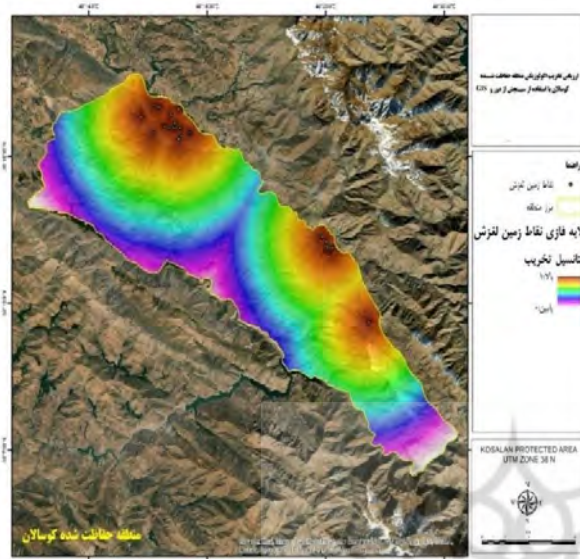
جدول ۴- استانداردسازی لایه‌های مدل تخریب اکولوژیکی

ردیف	معیار	زیرمعیار	تابع فازی	نقطه کنترلی ۱	نقطه وسط	نقطه کنترلی ۲
۱	زمین	پوشش گیاهی	خطی افزایشی	۰/۱		۰/۹
۲		فاصله از نقاط زمین‌لغزش	خطی کاهشی	۱۰ ک.م		*
۳		فرسایش	خطی افزایشی	۱		۳
۴	فیزیوگرافی	شیب	خطی افزایشی	۱		۷۵
۵		جهت	Near	۳۱۵		۲۶۰۰
۶		ارتفاع	خطی افزایشی	۸۰۰		*
۷	انسانی	فاصله از روستا	خطی کاهشی	۶ ک.م		*
۸		فاصله از جاده	خطی کاهشی	۱۰ ک.م		*

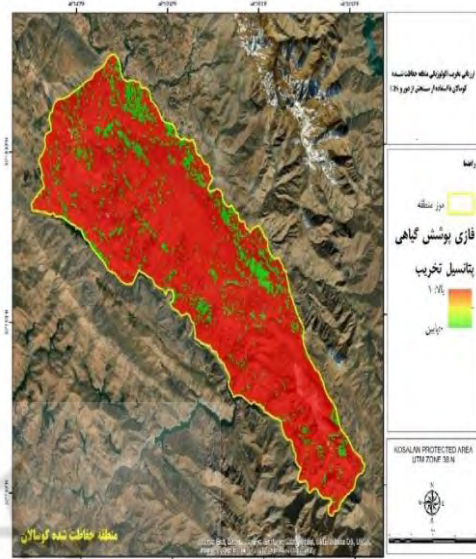
برای تعدادی از معیارها از تابع عضویت فازی خطی استفاده شده است. این معیارها با توجه به ماهیت لایه جغرافیایی و هم‌چنین ارتباط با مدل اکولوژیکی با این تابع استاندارد شده‌اند. به عنوان مثال لایه فاصله از روستا، از تابع خطی کاهنده استفاده شده است. بدین معنی که هر چه فاصله از روستا بیشتر باشد میزان پتانسیل تخریب اکولوژیک کمتر است و هر چه فاصله کمتر باشد پتانسیل تخریب بیشتر است؛ که این با تابع خطی کاهنده مطابقت دارد. نقاط کنترلی نیز با توجه به تابع فاصله اقلیدسی به دست آمده است که از صفر شروع می‌شود و تا دورترین نقطه مرز منطقه از روستاهای موجود است. بیشترین فاصله از روستا تا مرز منطقه کوسالان، شش کیلومتر است. این تابع برای هفت زیر معیار به صورت کاهش و افزایشی استفاده شده است. برای زیر معیار جهت شیب از تابع عضویت نزدیک (NEAR) استفاده شده است که تابعی شبیه تابع گوسینین یا توزیع نرمال است و دارای نقطه وسط است. با معرفی نقطه وسط به عنوان با ارزش‌ترین نقطه یا با بیشترین پتانسیل تخریب در این مطالعه، هر چه از این نقطه به طرفین فاصله بگیریم ارزش یا پتانسیل تخریب آن کاسته می‌شود. با توجه به اینکه جهت جغرافیایی با میزان دریافت تابش خورشید و میزان تبخیر و سپس آب قابل دسترس برای پوشش گیاهی و رطوبت ارتباط مستقیم دارد، بنابراین نقطه ۳۱۵ درجه که جنوب غربی هست به عنوان بالاترین پتانسیل تخریب به تابع نزدیک معرفی شده است و نقطه وسط ۱۰۰/۰ نیز به عنوان میزان پخش شدگی (Spread) آن که بیشترین میزان پخش شدگی در این تابع است، معرفی شد. تابع عضویت تمامی معیارها در **جدول ۴** آمده است.

در شکل شماره ۲ تصویر خروجی لایه هایی که در نرم افزار GIS استانداردسازی شده با مدل فازی آمده است.

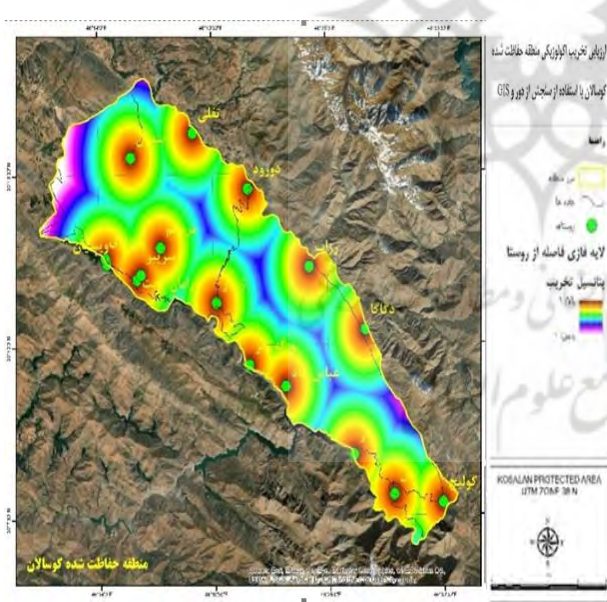
نقشه فازی نقاط زمین لغزش



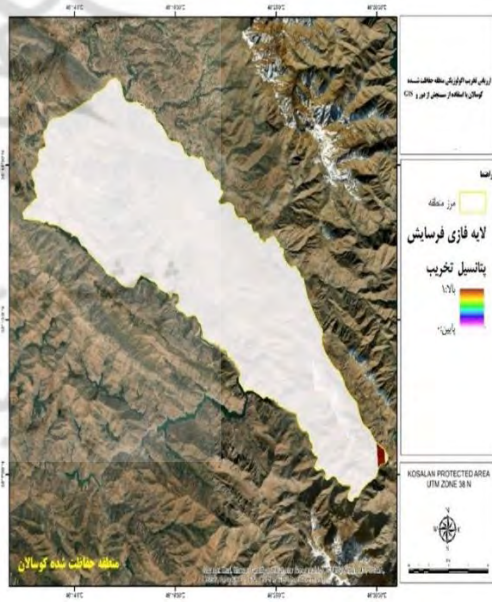
فازی پوشش گیاهی

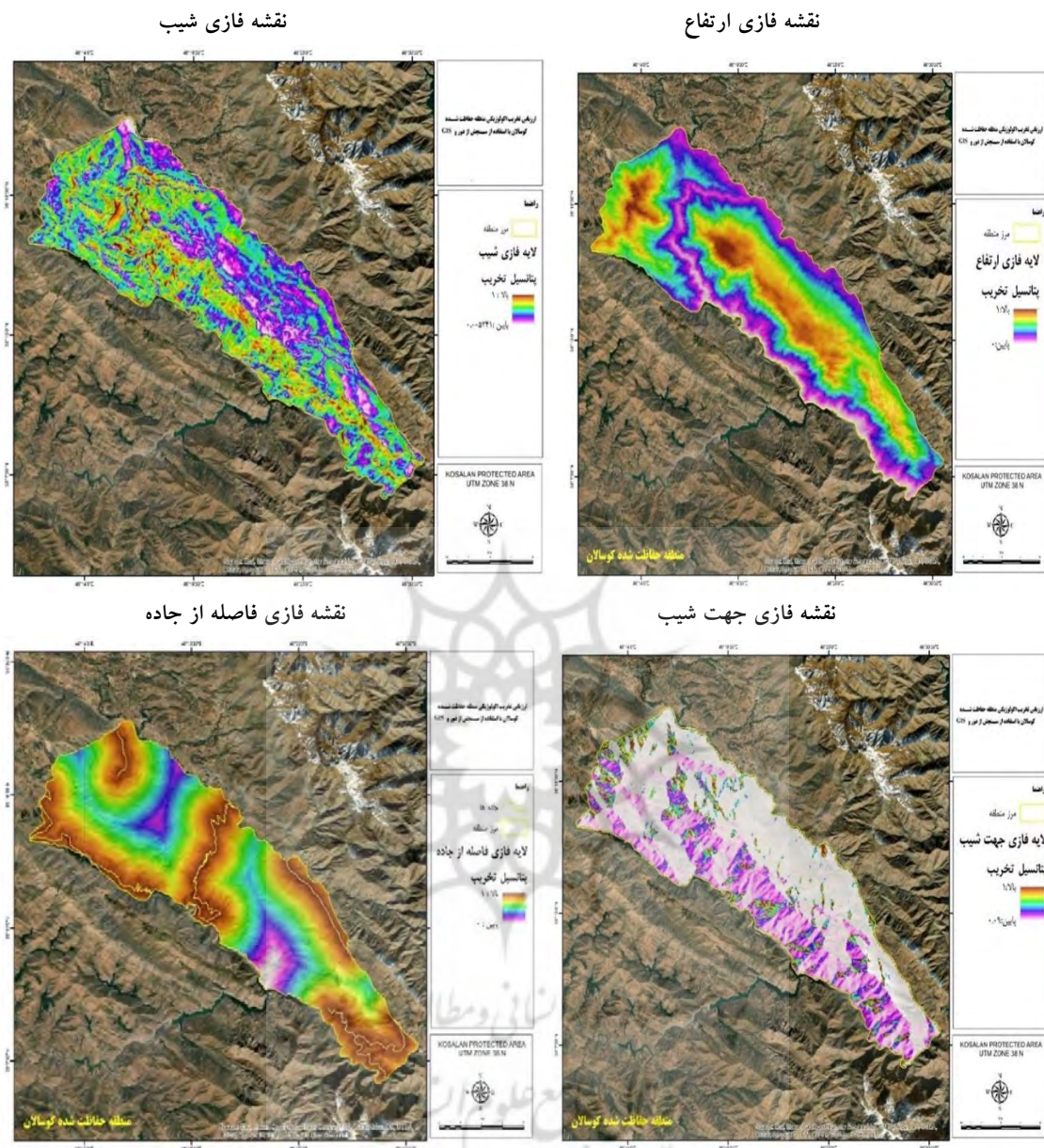


نقشه فازی فاصله از روستا



نقشه فازی فرسایش





شکل ۲ - نقشه فازی معیارهای استفاده شده

۲-۳-۲- وزن دهنی به معیارها با روش فرایند تحلیل سلسله مراتبی AHP

جهت بیان اهمیت هر معیار نسبت به معیارهای دیگر، باید این معیارها وزن دهنی شوند. در ادبیات تصمیم چند معیاری، روش هایی نظری رتبه بندی، درجه بندی، مقایسه دو به دو و تحلیل موازن - جایگشتی در وزن دهنی معیار بر پایه قضاوت های تصمیم گیران ارائه شده است. در صورتی که زمان و هزینه کم و به دست آوردن وزن ها به طریق

آسان مهم‌ترین مسئله باشد، یکی از روش‌های رتبه‌بندی یا نسبتی توصیه می‌شود؛ اما هنگامی که دقت، اساس کار مسئله باشد، روش مقایسه دوتایی و یا محیط‌زیست تحلیل توازن مناسب است ([مالچفسکی، ۱۳۸۵](#)). در این مطالعه پرسشنامه‌ها بین متخصصان منابع طبیعی و محیط‌زیست پخش شد و نتایج با نرم‌افزار Export choise مورد تجزیه و تحلیل قرار گرفت که در [جدول شماره ۵](#) نشان داده شده است و در پایان نرخ ناسازگاری $0/06$ به دست آمد.

جدول ۵- اوزان معیارها

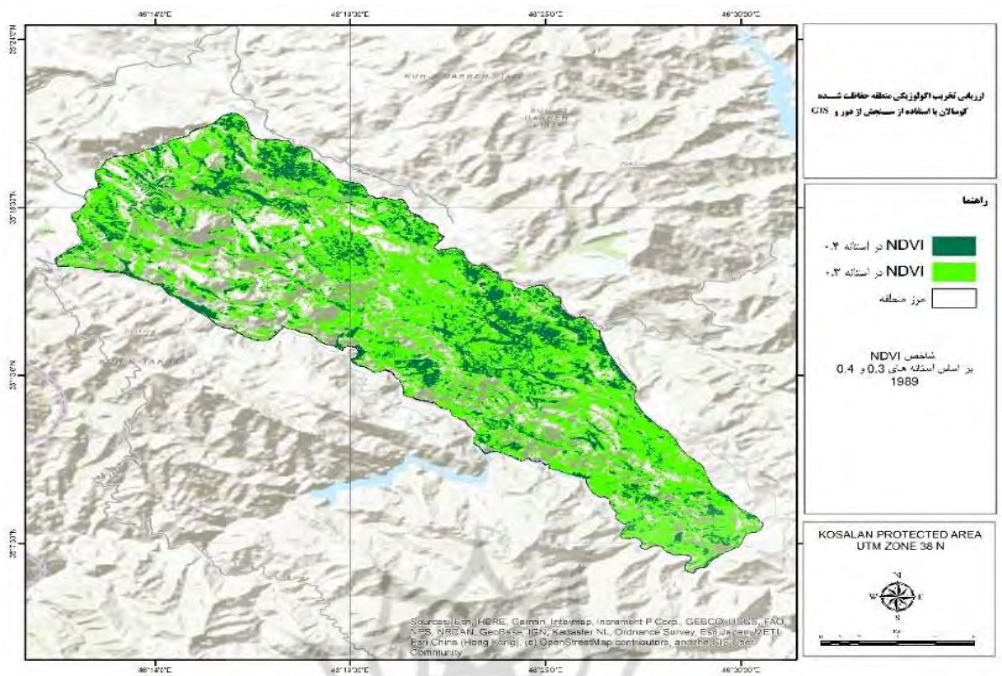
ردیف	نام معیار	وزن بر اساس روش AHP
۱	فاصله از روستا	۰/۱۸۹
۲	پوشش گیاهی	۰/۱۶۷
۳	فاصله از جاده	۰/۱۵۶
۴	نقاط زمین‌لغزش	۰/۱۰۹
۵	فرسایش	۰/۰۹۹
۶	شیب	۰/۰۹۸
۷	جهت	۰/۰۹۳
۸	ارتفاع	۰/۰۸۹

در مرحله آخر برای تولید نقشه نهایی پتانسیل تخریب لایه‌های تولید شده در نرم‌افزار سامانه اطلاعات جغرافیایی روی هم‌گذاری می‌شوند.

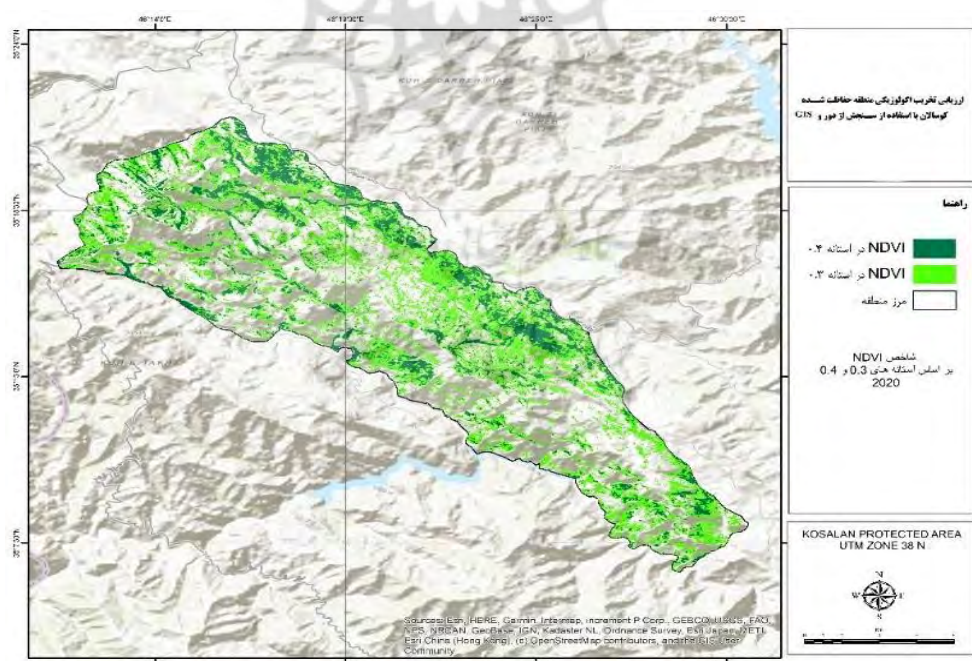
۳- نتایج و بحث

۱-۱- نتایج پوشش گیاهی با شاخص NDVI

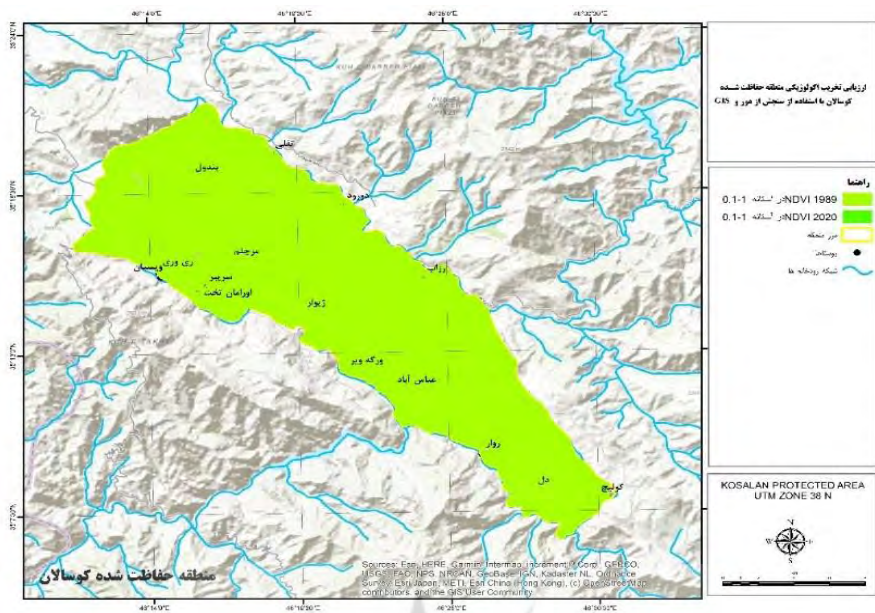
همان‌طور که در شکل ۴ مشاهده می‌شود، میزان پوشش گیاهی برای دو آستانه $0/3-1$ و $0/4-1$ در سال 1989 نشان داده شده است. آستانه $1-4/0$ پوشش با کیفیت را نشان می‌دهد و آستانه $0/3-1$ پوشش با کیفیت کمتر از آستانه $0/4-1$ را نشان می‌دهد ([برانکومار^۱ و محمد، ۲۰۱۵](#)).



شکل ۳- پوشش گیاهی (شاخص NDVI) در سال ۱۹۸۹



شکل ۴- پوشش گیاهی (شاخص NDVI) در سال ۲۰۲۰



شکل ۵- تغییرات پوشش گیاهی بر اساس شاخص NDVI در سال ۱۹۸۹ و ۲۰۲۰

در شکل شماره ۳ و ۴، نقشه پوشش گیاهی بر اساس دو آستانه ۰/۳-۱ و ۰/۰-۱ در شاخص NDVI به ترتیب در سال‌های ۱۹۸۹ و ۲۰۲۰ نشان داده شده است. در شکل شماره ۵ نتیجه شاخص NDVI در دامنه ۰/۱-۱ در هر دو دوره را نشان می‌دهد. همان‌طور که مشاهده می‌شود جز قسمت‌های کوچکی که شامل اراضی بایر و روستاها می‌شود بقیه مناطق دارای پوشش می‌باشند. پوشش هر دو دوره بر هم منطق شده‌اند و در هر دو دوره در این آستانه کل منطقه بر اساس شاخص NDVI دارای پوشش می‌باشند. نتایج پوشش گیاهی با شاخص NDVI نشان داد که در طول زمان موربررسی کیفیت پوشش گیاهی تغییرات زیادی داشته است. با استفاده از این شاخص می‌توان وضعیت اکولوژیکی منطقه را از لحاظ پوشش گیاهی بررسی نمود. در صورت کاهش سطح پوشش گیاهی و جنگلی منطقه می‌توان پی برد که وضعیت اکولوژیکی منطقه نیز در حال افت است. استفاده از شاخص NDVI برای نشان دادن تغییرات اکولوژیکی در محیط‌های مختلف توسط محققین زیادی بررسی شده است (ژانگ^۱ و همکاران، ۲۰۲۲؛ پراوالی^۲ و همکاران، ۲۰۲۲؛ لی^۳ و همکاران، ۲۰۲۱؛ جیانگ^۴ و همکاران، ۲۰۲۱). نتایج این مرحله از مطالعه حاضر با نتایج گیل‌سپای^۵ و همکاران در سال ۲۰۱۸ همخوانی دارد گیل‌سپای و همکاران در سال ۲۰۱۸ نیز در مطالعه از فناوری سنجش از دور برای نشان دادن تغییرات NDVI در منطقه حفاظت شده در جنوب کالیفرنیا استفاده کردند. نتایج

1 Zhang

2 Pravalié

3 Li

4 Jiang

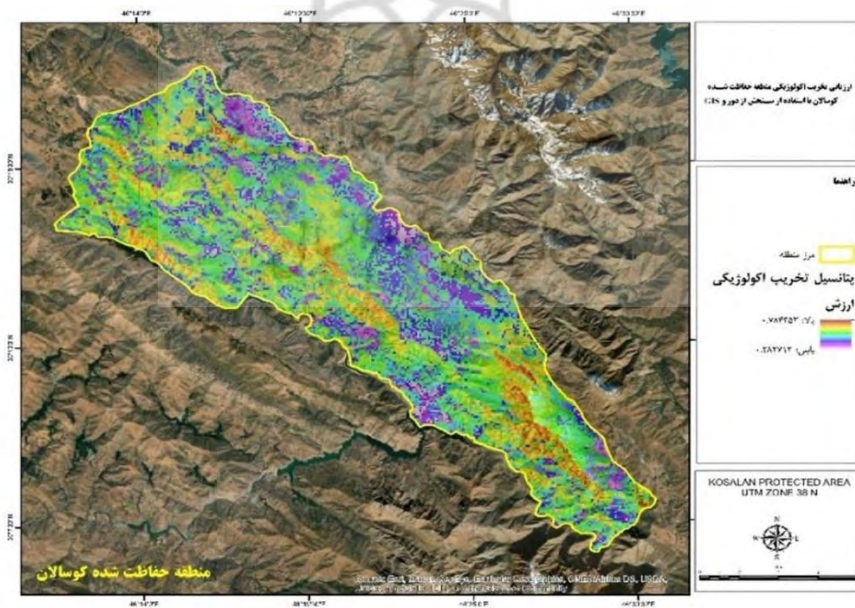
5 Gillespie

آنها نیز کاهش NDVI را در سطح منطقه نشان داد و همچنین آنها بیان داشتند که فن‌آوری سنجش از دور برای بررسی تغییرات پوشش گیاهی قابل اعتماد است. از آنجایی که محدوده طیفی Landsat 8 OLI باریک‌تر از OLI 5-4 TM است، NDVI مشتق شده از این ماهواره‌ها مقادیر متفاوتی دارد. باریک بودن محدوده طیفی سنجنده OLI سبب می‌شود که مقدار NDVI را در مقایسه با ماهواره Landsat 4-5 TM بیشتر نشان دهد. با توجه به این امر که یکی از تصاویر مورد استفاده در این مطالعه تصویر Landsat 4-5 TM است (سال ۱۹۸۹) و تصویر دیگر تصویر ماهواره Landsat 8 OLI (سال ۲۰۲۰) است، لذا برای حل این مشکل، شاخص‌های این دو سنسور باید کالیبره شوند (Gooshbor et al., 2016)؛ اما با توجه به نتایج به دست آمده از شاخص NDVI در سال ۲۰۲۰ که از نظر دامنه عددی کمتر از سال ۱۹۸۹ است می‌توان نتیجه گرفت که کاهش کیفیت اکولوژیک منطقه شدید بوده و با توجه به عدم افزایش شاخص NDVI در سال ۲۰۲۰ نیازی به انجام کالیبراسیون نیست.

۲-۳- پهنه‌بندی پتانسیل تخریب اکولوژیک

در این بخش لایه‌های استاندارد شده مرحله قبلی همراه با وزن آنها روی هم گذاری شده و نقشه پتانسیل تخریب اکولوژیکی منطقه حاصل شد. این کار با دستور map algebra و با کد زیر اجرا می‌شود.

("لایه فازی پوشش گیاهی" * ۰/۱۶۷) + ("لایه فازی ارتفاع" * ۰/۰۸۹) + ("لایه فازی شیب" * ۰/۰۹۸) +
 ("لایه فازی فاصله از جاده" * ۰/۱۵۶) + ("لایه فازی جهت شیب" * ۰/۰۹۳) + ("لایه فازی فرسایش" * ۰/۰۹۹) +
 ("لایه فازی نقاط زمین‌لغزش" * ۰/۱۰۹) + ("لایه فازی فاصله از روستا" * ۰/۱۸۹)



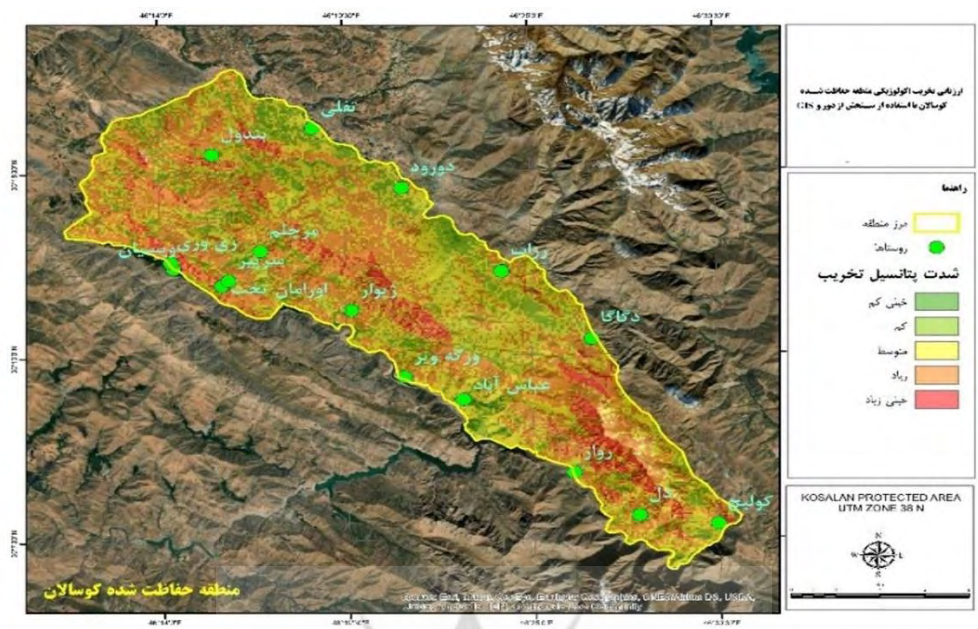
شکل ۶- نقشه پتانسیل تخریب اکولوژیکی

در این مطالعه با توجه به روش استانداردسازی بر اساس ماهیت تحقیق، هر چه ارزش سلول بالاتر باشد، پتانسیل تخریب بالاتر و هر چه ارزش سلول پایین تر باشد پتانسیل تخریب پایین تر است. در [شکل شماره ۶](#) نقشه پتانسیل تخریب منطقه نشان داده است. بر اساس عملکرد تابع ارزش بین ۰/۲۸ تا ۰/۷۸ به دست آمده است. مناطق با پتانسیل تخریب کم، سمت ارزش کم بوده و مناطق با پتانسیل تخریب بالا، سمت ارزش زیاد می باشند. همان‌طور که در [جدول ۶](#) نشان داده شده است، پتانسیل تخریب در منطقه به ۵ طبقه تقسیم شده است:

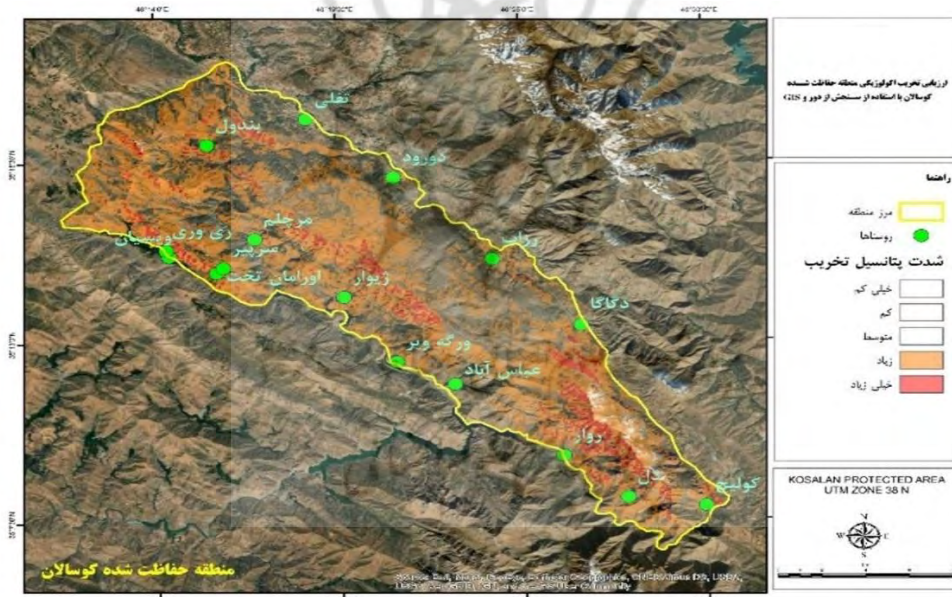
جدول ۶ - نقشه پتانسیل تخریب اکولوژیکی

درصد	مساحت (هکتار)	پتانسیل تخریب اکولوژیک
۰/۶۶	۱۷۶	خیلی کم
۱۳/۵۶	۳۵۹۵	کم
۳۵/۷۷	۹۴۸۱	متوسط
۴۳/۶۸	۱۱۵۷۷	زیاد
۷/۱۱	۱۶۲۰	خیلی زیاد

۱۷۶ هکتار دارای پتانسیل تخریب اکولوژیک خیلی کم، ۳۵۹۵ هکتار تخریب کم، ۹۴۸۱ هکتار تخریب متوسط، ۱۱۵۷۷ هکتار تخریب زیاد و ۱۶۲۰ هکتار دارای پتانسیل تخریب خیلی زیاد می باشند. هم‌چنین میزان پتانسیل تخریب به صورت درصدی، ۰/۶۶ درصد تخریب خیلی کم، ۱۳/۵۶ درصد تخریب کم، ۳۵/۷۷ درصد تخریب متوسط، ۴۳/۶۸ درصد تخریب زیاد و ۱۱/۰۶ درصد تخریب خیلی زیاد هست. در [شکل ۷](#) مناطق با بالاترین پتانسیل تخریب به رنگ قرمز نشان داده شده است. این مناطق بیشتر در سمت شمال غرب منطقه قرار گرفته‌اند. هم‌چنین بخشی از این مناطق در جنوب شرق و هم‌جوار با روستاهای جاده‌های ارتباطی آن‌ها واقع شده است. مناطق سبز رنگ دارای کمترین و مناطق قرمز رنگ دارای بالاترین پتانسیل تخریب می باشند.



شکل ۷- نقشه پهنه‌بندی پتانسیل تخریب اکولوژیکی



شکل ۸- نقشه پهنه‌های با پتانسیل تخریب اکولوژیکی بالا

در [شکل ۸](#) دو طبقه با پتانسیل بالا به صورت جدا نشان داده شده‌اند. هدف از این کار معرفی پهنه‌های با پتانسیل تخریب بالا و معرفی آن‌ها برای تحقیقات بیشتر در این پهنه‌ها و ارائه برنامه مدیریتی هست. به طور کلی ۵۰ درصد از مساحت منطقه دارای پتانسیل بالای تخریب اکولوژیکی است. محققین زیادی تخریب اکولوژیکی را در محیط‌های

مخالف شامل مناطق بیابانی (لیو^۱ و همکاران، ۲۰۲۲)، مناطق حفاظت شده (نعمت‌اللهی^۲ و همکاران، لی^۳ و همکاران، ۲۰۲۲)، محیط‌های شهری (فنگ^۴ و همکاران، ۲۰۲۱) و به صورت کلی تر در کشورهای توسعه یافته G-7 (عثمان^۵ و همکاران، ۲۰۲۱) بررسی کرده‌اند. در همه این مطالعات کیفیت اکولوژیک کاهش داشته است و یا در بهترین حالت ممکن در قسمت‌هایی که دور از دسترس فعالیت‌های انسانی بوده ثابت و بدون تغییر بوده است به صورت ویژه مطالعه نعمت‌اللهی و همکاران (۲۰۲۲) نشان داد که فعالیت‌های انسانی مانند خطوط حمل و نقل جاده سبب شده که مناطق مناسب برای زندگی حیات و حش در مناطق حفاظت شده استان چهار محال بختیاری در ایران دارای ریسک بالا و متوسط باشد که این نتایج با نتایج پژوهش حاضر در اثرگذاری بالای فاصله از جاده در تخریب اکولوژیک منطقه همخوانی دارد در این راستا امامی و شهریاری (۱۳۹۸) نیز نشان دادند که عامل نزدیکی به جاده پیش‌ترین سهم را در ایجاد وقوع آتش‌سوزی در منطقه حفاظت شده ارسپاران دارد. یکی دیگر از نتایج پژوهش حاضر اثرگذاری نزدیکی به مراکز جمعیتی یا همان روستاهای منطقه در افزایش میزان تخریب اکولوژیکی است که این نتایج با نتایج گرانادوس^۶ و همکاران در سال ۲۰۲۲ و شیر محمدی و همکاران در سال ۱۳۹۵ مطابقت دارد. گرانادوس و همکاران ۲۰۲۲ در مطالعه تغییرات پوشش گیاهان در معرض خطر انقراض را با استفاده از شاخص NDVI در مناطق حفاظت شده جنوب اروپا مورد بررسی قرار دادند. نتایج آن‌ها بیانگر عدم تغییر پوشش در مناطق بدون دخالت انسان بود. شیر محمدی و همکاران (۱۳۹۵) در مطالعه اثرات توسعه را بر منطقه حفاظت شده کرکس بررسی کردند. آن‌ها به این نتیجه رسیدند که فعالیت‌های انسانی از مهم‌ترین معضلات منطقه بوده و بیشترین تأثیر را در تخریب این مناطق داشته است. با توجه به نتایج حاصل از این پژوهش می‌توان گفت استفاده از فناوری سنجش از دور در کنار استفاده از مدل‌های Fuzzy GIS و AHP در محیط GIS روش دقیقی برای برآورد پتانسیل تخریب اکولوژیکی در مناطق حفاظت شده است.

۴- جمع‌بندی

این تحقیق با هدف ارزیابی تخریب اکولوژیکی منطقه حفاظت شده کوسالان با استفاده از سنجش از دور و GIS انجام شده است. ابتدا به منظور تغییرات پوشش گیاهی از فناوری سنجش از دور استفاده شد. تصاویر دو دوره زمانی مربوط به سال‌های ۱۹۸۹ و ۲۰۲۰ تهیه و با استفاده از نرم‌افزار ۵.۳ Envi مورد ارزیابی قرار گرفت. سپس به منظور مدل‌سازی تخریب اکولوژیک از ۸ زیر معیار استفاده شد. با روش فرآیند تحلیل سلسه مراتبی وزن‌دهی شدند و با

1 Liu

2 Nematollahi

3 Li

4 Feng

5 Usman

6 Granados

منطق فازی استاندارد شدند. با روی هم گذاری لایه‌ها نقشه پتانسیل تخریب اکولوژی تهیه و موردنرسی و ارزیابی قرار گرفت. بر اساس شاخص NDVI (شاخص نرمال شده تقاضاً پوشش گیاهی) که یک شاخص گرافیکی ساده است که در تحلیل‌ها و اندازه‌گیری‌های سنجش از دور و ارزیابی وجود یا عدم وجود پوشش گیاهی یک منطقه کاربرد دارد، تغییرات پوشش گیاهی در آستانه‌های مختلف بررسی و تحلیل شد. با توجه به وضعیت پوشش گیاهی در منطقه از ۳ آستانه برای این امر استفاده شد. آستانه $0/3-1$ ، $0/4-0$ و $0/1-1$ استفاده شد. نتایج آستانه $0/1$ تا 1 شاخص NDVI نشان داد که منطقه مورد مطالعه در طول ۳۱ سال میزان تخریب و یا تبدیل مرتع به دیم‌زار خیلی کمی داشته است چون تمامی منطقه در هر دو تصویر بازه‌های زمانی ذکر شده دارای پوشش گیاهی در تراکم $0/0$ تا 1 بود ولی نتایج آستانه‌های دیگر شامل $0/3-1$ و $0/4-0$ که آستانه‌های بیان کننده کیفیت پوشش گیاهی بر اساس تراکم پوشش است نشان داد که تراکم پوشش گیاهی در طول ۳۱ سال کاهش داشته است. به نظر می‌رسد کاهش تراکم پوشش گیاهی منطقه به دلیل چرای مفرط و بیش از ظرفیت مرتع باشد که افزایش جمعیت انسانی روستاهای حاشیه منطقه و به طبع آن افزایش نیاز به استفاده از مرتع این مناطق جهت تعییف دام سبب این امر شده است. البته در کنار چرای مفرط عامل تغییر اقلیم و کاهش بارش برفی منطقه نیز می‌تواند تأثیرگذار باشد که نیاز به بررسی بیشتر در مطالعات آتی دارد. به صورت کلی می‌توان گفت شرایط فیزیوگرافی شامل کوهستانی بودن منطقه همراه با دامنه ارتفاعی و درجه شیب بالا سبب شده که عامل مهمی مانند تغییر کاربری اراضی که سبب از بین رفتگی مناطق تحت استفاده حیات وحش است در این منطقه وجود نداشته باشد. از طرف دیگر عوامل انسان‌ساخت دیگری مانند سکونتگاه‌های روستایی و احداث جاده در مناطق حاشیه منطقه حفاظت شده سبب افزایش پتانسیل تخریب اکولوژیکی این مناطق شده است. درجه شیب بالا همراه با دامنه ارتفاعی زیاد از مهم‌ترین عوامل افزایش پتانسیل تخریب اکولوژیک منطقه است که سبب ایجاد اکوسیستم‌های بسیار حساس و شکننده در مقابل فشارهای بیرونی شده است. این امر نشان می‌دهد در کنار این محدودیت‌های طبیعی هرگونه دخالت انسانی حتی به صورت محدود مانند چرای بیش از ظرفیت مرتع و یا ایجاد جاده به منظور توسعه صنعت توریسم می‌تواند خسارات جبران‌ناپذیری در منطقه به بار آورد.

کتابنامه

احسنی، نبی؛ اولادی، جعفر؛ قصریانی، فرهنگ؛ درویش، محمد؛ ۱۳۸۶. معرفی شیوه‌ای برای اعمال مدیریت پایدار بر سرزمین برمبنای معیارهای IUCN استان کردستان، منطقه کوسالان مریوان. *فصلنامه علمی-پژوهشی تحقیقات مرجع و بیان ایران*. شماره ۴. جلد . صص ۵۵۸-۵۳۹.

https://ijrdr.areeo.ac.ir/article_105766.html

آرخی، صالح؛ محمودیان، عبدالرحمان؛ عمام الدین، سمیه؛ ۱۴۰۰. پیش‌بینی خطر تخریب جنگل با استفاده از سیستم اطلاعات جغرافیایی و مدل رگرسیون لجستیک (مطالعه موردی: شهرستان سردشت). *جغرافیا و مخاطرات محیطی*. (۴). ۱۰. <https://doi.org/10.22067/geoeh.2021.70743.1070>

اماکن، حسن؛ شهریاری، حسن؛ ۱۳۹۸. کمی‌سازی عوامل محیطی و انسانی در موقع آتش‌سوزی جنگل با روش‌های GIS و مناطق حفاظت شده ارسباران. *فصلنامه علمی-پژوهشی اطلاعات جغرافیایی سپهر*. (۲۸)(۱۱۲).

صص ۳۵-۳۳. <https://doi.org/10.22131/sepehr.2020.38606>

روشن، سجاد؛ ۱۳۹۷. وسعت و وضعیت مناطق حفاظت شده و ارتباط آن‌ها در مقیاس سیماهی سرزمین با استفاده از نظریه گراف در جهت افزایش پایداری و ارائه راهکارهایی مدیریت محیط‌زیستی (مطالعه موردی زیستگاه مرکزی زاگرس). پایان‌نامه. دانشگاه تهران.<https://env.ut.ac.ir>

سپهر، حسین؛ مخدوم، مجید؛ فربادی، شهرزاد؛ رمضانی مهریان، مجید؛ ۱۳۹۴. ارزیابی کیفیت سرزمین در مناطق حفاظت شده با استفاده از مدل تخریب (مطالعه موردی: مجموعه حفاظت شده توران). *پژوهش‌های محیط‌زیست*. سال ۶. شماره ۱۱. بهار و تابستان. از صص ۱۱۹-۱۳۰.

<https://www.magiran.com/paper/1454673>

شیرمحمدی، ایمان؛ جهانی، علی؛ اعتماد، وحید؛ ضرغام، نصرت‌الله؛ مخدوم فرخنده، مجید؛ ۱۳۹۵. ارزیابی آثار محیط‌زیستی توسعه بر منطقه حفاظت شده کرس با استفاده از مدل تخریب. *پژوهش‌های محیط‌زیست*. (۷). ۹۱-۱۰۲.

<https://doi.org/20.1001.1.20089597.1395.7.14.15.2>

مالچفسکی یاچک؛ ۱۳۸۵. سامانه اطلاعات جغرافیایی و تحلیل تصمیم چند معیاره. اکبر پرهیزکار و عطا غفاری گیلان‌نده تهران: سمت.

<https://samt.ac.ir/fa/book/837> مجله دیلدادهای محیط‌زیست و حیات‌وحش ایران؛ ۱۳۹۱. منطقه حفاظت شده کوسالان و شاهو.

<http://www.iew.ir/1391/06/14/1574>

نظام فر، سرمستی؛ علوی پناه، کاظم؛ ۱۴۰۰. بررسی امکان کالibrاسیون سنجنده‌های ASTER و LISSIII با استفاده از نمکزارهای مناطق خشک ایران. *فصلنامه علوم و تکنولوژی محیط‌زیست*. (۳)۲۳(۲). ۱۱۷-۱۳۱.

<https://doi.org/10.30495/jest.2021.8037>

Bharathkumar, L., Mohammed-Aslam, M. A., 2015. Crop Pattern Mapping of Tumkur Taluk Using NDVI Technique: A Remote Sensing and GIS Approach. *Aquatic Procedia*, 4, 1397–1404. <https://doi.org/10.1016/j.aqpro.2015.02.181>

- Eddy, I. M., Gergel, S. E., Coops, N. C., Henebry, G. M., Levine, J., Zerriffi, H., Shibkov, E., 2017. Integrating remote sensing and local ecological knowledge to monitor rangeland dynamics. *Ecological Indicators*, 82, 106-116. <https://doi.org/10.1016/j.ecolind.2017.06.033>
- Feng, R., Wang, F., Wang, K., 2021. Spatial-temporal patterns and influencing factors of ecological land degradation-restoration in Guangdong-HongKong-Macao Greater Bay Area. *Science of The Total Environment*, 794, 148671. <https://doi.org/10.1016/j.scitotenv.2021.148671>
- Fraser, E. D., Dougill, A. J., Hubacek, K., Quinn, C. H., Sendzimir, J., Termansen, M., 2011. Assessing vulnerability to climate change in dryland livelihood systems: conceptual challenges and interdisciplinary solutions. *Ecology and Society*, 16(3), 12p. <https://www.jstor.org/stable/26268912>
- Gillespie, T.W., Kelm, S.O., Dong, C., Willis, K.S., Okin, G.S., MacDonald, G.M., 2018. Monitoring changes of NDVI in protected areas of southern California. *Ecological Indicators*, 88, 485-494. <https://doi.org/10.1016/j.ecolind.2018.01.031>
- Gooshbor, L., Bavaghari, M. P., Amanollahi, J., Ghobari, H., 2016. Monitoring infestations of oak forests by *Tortrix viridana* (Lepidoptera: Tortricidae) using remote sensing. *Plant Protection Science*, 52(4), 270-276. <http://pps.agriculturejournals.cz/artkey/pps-201604-0008>
- Granados, L., Pizaro, M., Cayuela, L., Domingo, D., Gomez, D., Gracia, M.B., 2022. Long-term monitoring of NDVI changes by remote sensing to assess the vulnerability of threatened plants. *Biological Conservation*, 265, 109428. <https://doi.org/10.1016/j.biocon.2021.109428>
- Hellwig, N., Anschlag, K., Broll, G., 2016. A fuzzy logic based method for modeling the spatial distribution of indicators of decomposition in a high mountain environment. *Arctic, Antarctic, and Alpine Research*, 48(4), 623-635. <https://doi.org/10.1657/AAAR0015-073>
- Jiang, L., Huang, X., Wang, F., Liu, Y., An, P., 2018. Method for evaluating ecological vulnerability under climate change based on remote sensing: A case study. *Ecological indicators*, 85, 479-486. <https://doi.org/10.1016/j.ecolind.2017.10.044>
- Jiang, L., Liu, Y., Wu, S., Yang, C., 2021. Analyzing ecological environment change and associated driving factors in China based on NDVI time series data. *Ecological Indicators*, 129, 107933. <https://doi.org/10.1016/j.ecolind.2021.107933>
- Jing, Y., Zhang, F., He, Y., Johnson, V. C., Arikena, M., 2020. Assessment of spatial and temporal variation of ecological environment quality in Ebinur Lake Wetland National Nature Reserve, Xinjiang, China. *Ecological Indicators*, 110, 105874. <https://doi.org/10.1016/j.ecolind.2019.105874>
- Li, M., Yu, H., Meng, B., Sun, Y., Zhang, J., Zhang, H., Wu, J., Yi, S., 2021. Drought reduces the effectiveness of ecological projects: Perspectives from the inter-annual variability of vegetation index. *Ecological Indicators*, 130, 108154. <https://doi.org/10.1016/j.ecolind.2021.108154>
- Li, Q., Zhou, y., Yi, S., 2022. An integrated approach to constructing ecological security patterns and identifying ecological restoration and protection areas: A case study of Jingmen, China. *Ecological Indicators*, 137, 108723. <https://doi.org/10.1016/j.ecolind.2022.108723>
- Liu, S., Zhang, J., Zhang, J., Guo, Y., 2022. Simultaneously tackling ecological degradation and poverty challenges: Evidence from desertified areas in northern China. *Science of The Total Environment*, 815, 152927. <https://doi.org/10.1016/j.scitotenv.2022.152927>
- Mahmood, K., Batool, A., Faizi, F., Chaudhry, M. N., Ul-Haq, Z., Rana, A. D., Tariq, S., 2017. Bio-thermal effects of open dumps on surroundings detected by remote sensing—Influence of geographical conditions. *Ecological indicators*, 82, 131-142. <https://doi.org/10.1016/j.ecolind.2017.06.042>

- Malano, H.M., Gao, G., 1992. Ranking and Classification of irrigation system performance using fuzzy set theory: case studies in Australia and China. *Irrigation and Drainage Systems*, 6, 129-148. <https://link.springer.com/article/10.1007/BF01102973>
- Manzo, C., Mei, A., Zampetti, E., Bassani, C., Paciucci, L., Manetti, P., 2017. Top-down approach from satellite to terrestrial rover application for environmental monitoring of landfills. *Science of The Total Environment*, 584, 1333-1348.
<https://doi.org/10.1016/j.scitotenv.2017.01.033>
- Nematollahi, S., Fakheran, S., Jafari, A., Pourmanafi, S., Kienast, F., 2022. Applying a systematic conservation planning tool and ecological risk index for spatial prioritization and optimization of protected area networks in Iran. *Journal for Nature Conservation*. 66, 126144. <https://doi.org/10.1016/j.jnc.2022.126144>
- Pravalie, R., Sirodoev, I., Nita, I., Patriche, C., Dumitrascu, M., Rosca, B., Tiscovsci, A., Bandoc, G., Savulescu, L., Manoiu, V., Birsan, M., 2022. NDVI-based ecological dynamics of forest vegetation and its relationship to climate change in Romania during 1987-2018. *Ecological Indicators*, 136, 108629. <https://doi.org/10.1016/j.ecolind.2022.108629>
- Shen, Ge., 2019. Remote sensing and evaluation of the wetland ecological degradation process of the Zoige Plateau Wetland in China, *Ecological Indicators*, 104, 48-59.
<https://doi.org/10.1016/j.ecolind.2019.04.063>
- Slonecker, T., Fisher, G. B., Aiello, D. P., Haack, B., 2010. Visible and infrared remote imaging of hazardous waste: a review. *Remote Sensing*, 2(11), 2474-2508.
<https://doi.org/10.3390/rs2112474>
- Tan, J., Li, A., Lei, G., Bian, J., Zhang, Z., 2019. A novel and direct ecological risk assessment index for environmental degradation based on response curve approach and remotely sensed data. *Ecological indicators*, 98, 783-793. <https://doi.org/10.1016/j.ecolind.2018.11.038>
- Usman, O., Lorember, T., Jelilov, G., Isik, A., Ike, G.N., Sarkodie, S.A., 2021. Towards mitigating ecological degredation in G-7 countries: accounting for economic effect dynamics, renewable energy consumption, and innovation. *Heliyon*, 7(12), e08592.
<https://doi.org/10.1016/j.heliyon.2021.e08592>
- Walz, U., 2011. Landscape structure, landscape metrics and biodiversity. *Living reviews in landscape research*, 5(3), 1-35. <https://doi.org/10.12942/lrlr-2011-3>
- Xu, H., Wang, M., Shi, T., Guan, H., Fang, C., Lin, Z., 2018. Prediction of ecological effects of potential population and impervious surface increases using a remote sensing based ecological index (RSEI). *Ecological indicators*, 93, 730-740.
<https://doi.org/10.1016/j.ecolind.2018.05.055>
- Zhang, X., Liu, K., Li, X., Wang, S., Wang, J., 2022. Vulnerability assessment and its driving forces in terms of NDVI and GPP over the Loess Plateau, China. *Physics and Chemistry of the Earth, Parts A/B/C*, 125, 103106. <https://doi.org/10.1016/j.pce.2022.103106>